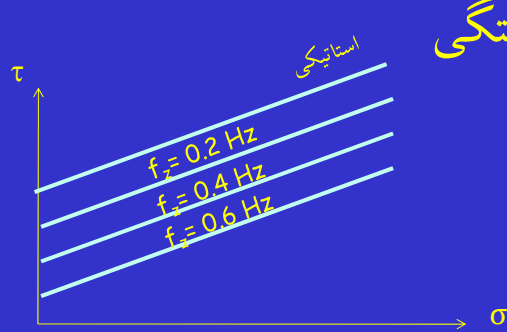


## رفتار دینامیکی خاک ها

Hasan Ghasemzadeh

Soil dynamics

## رفتار دینامیکی خاک ها



پوش گسیختگی

تحت بار دینامیکی

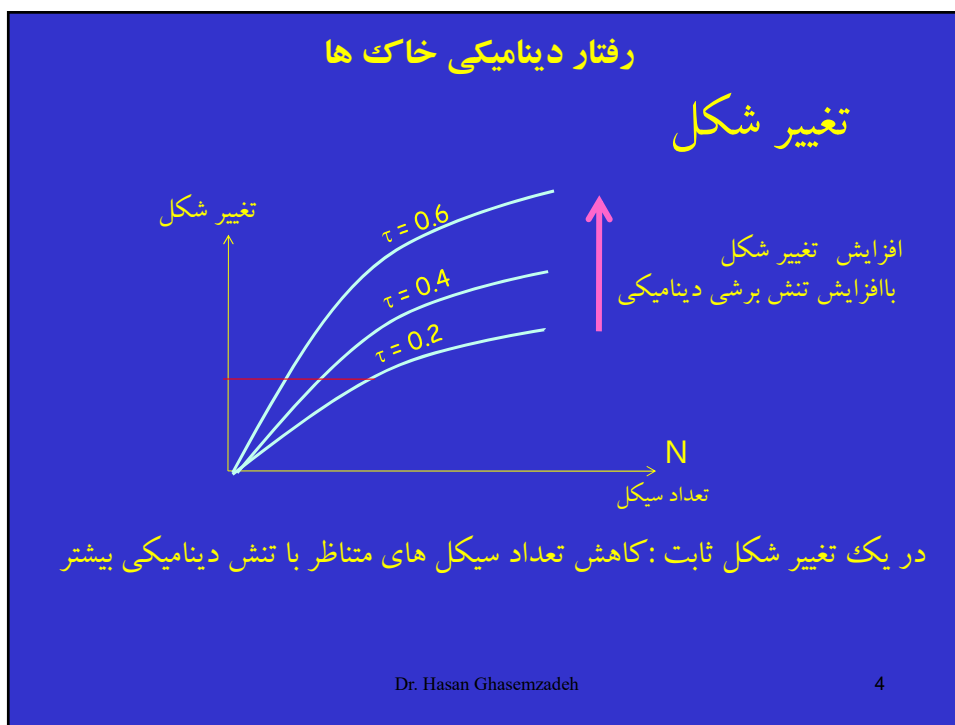
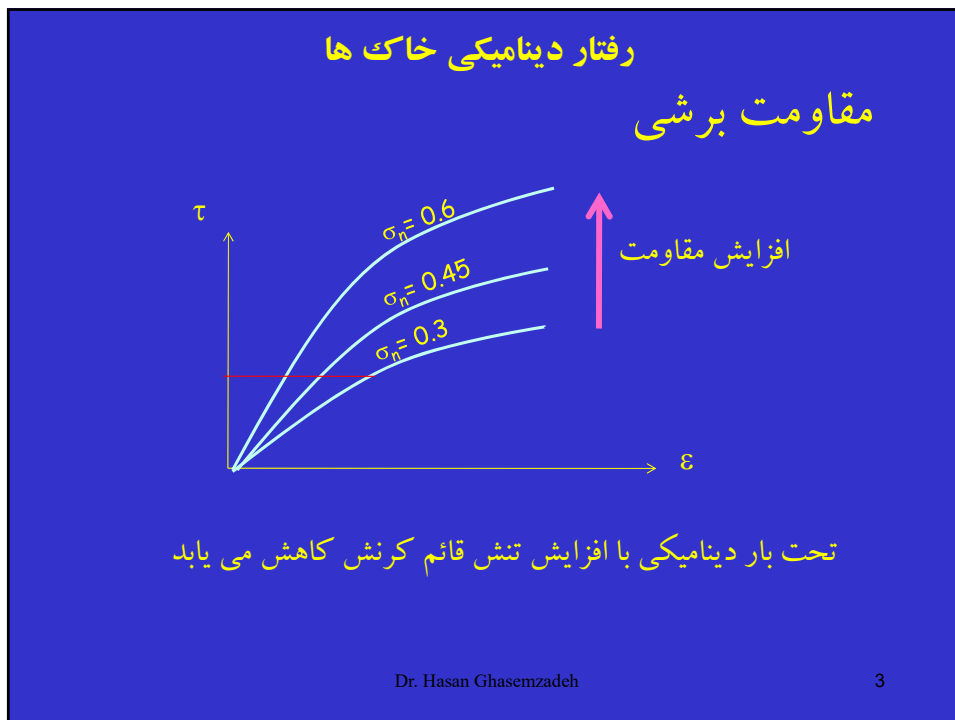
حرکت پوش به سمت پایین

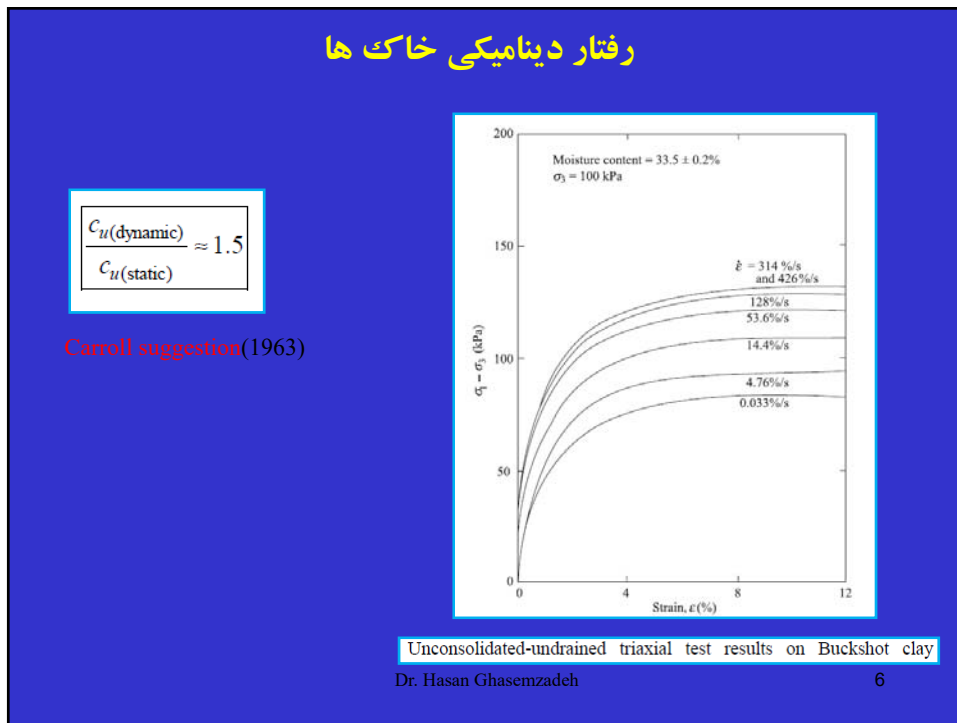
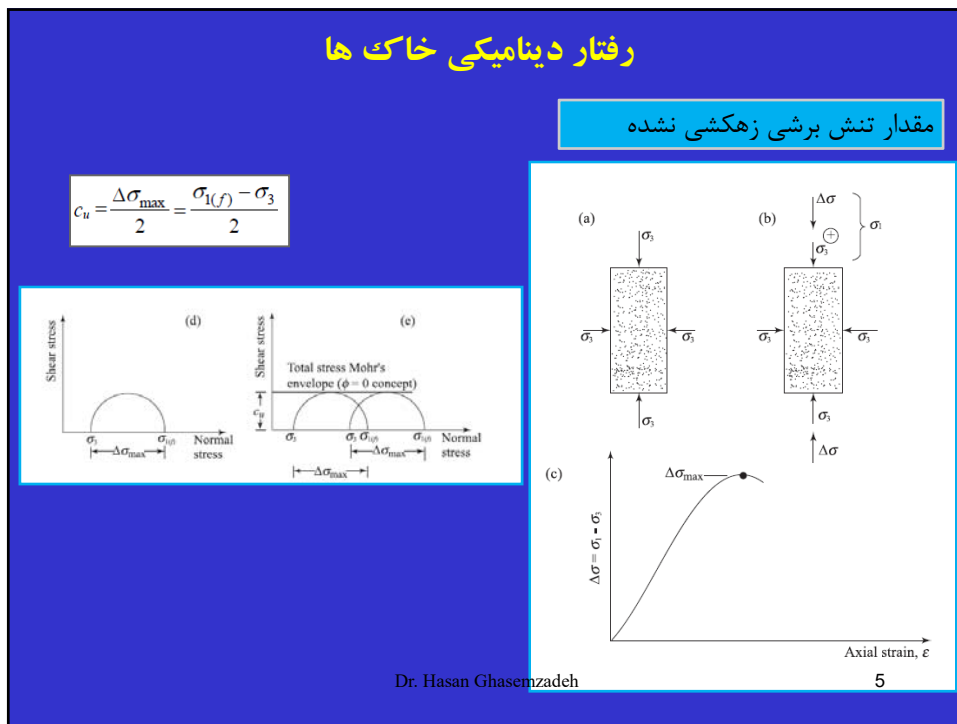
کاهش چسبندگی

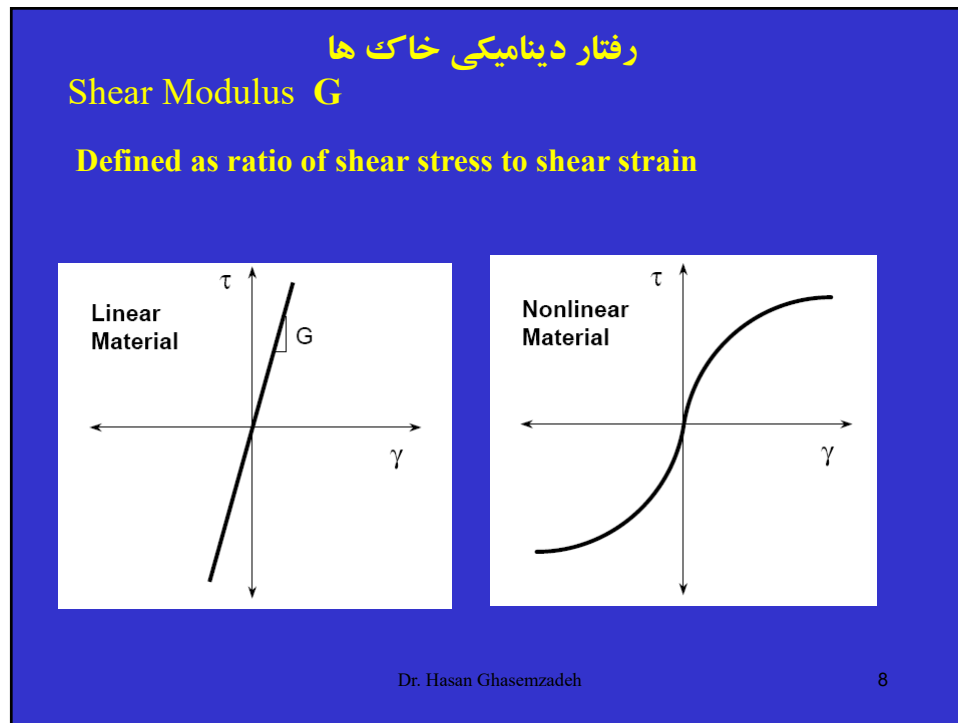
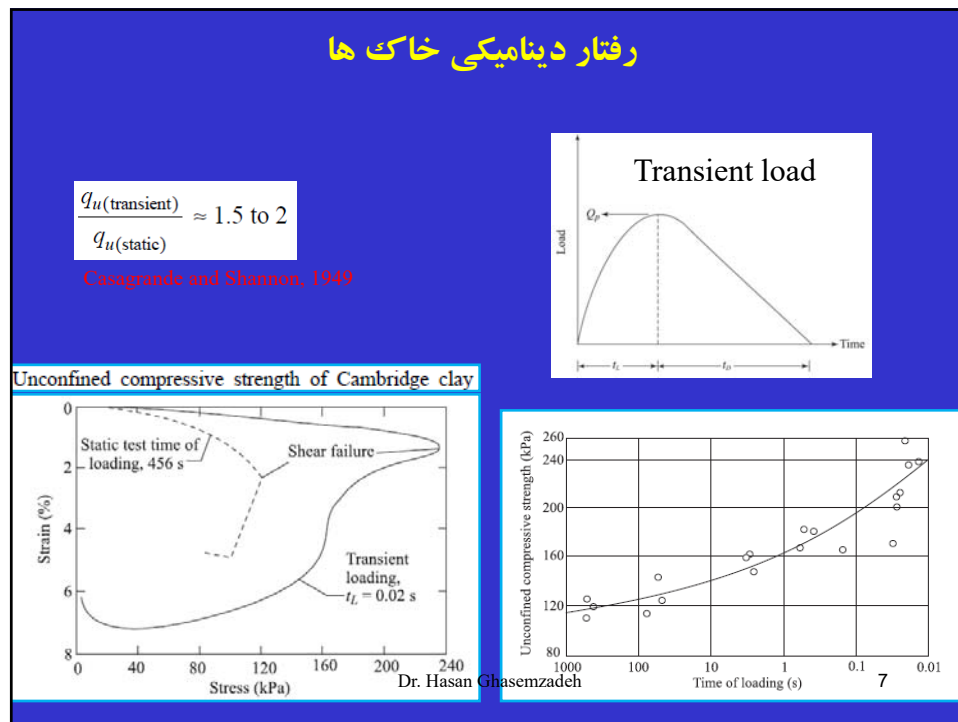
زاویه اصطکاک ثابت

Dr. Hasan Ghasemzadeh

2







## رفتار دینامیکی خاک ها

### Measurement of $G_{max}$

Usually accomplished by measuring  $V_s$

Direct field measurement

Seismic reflection

Seismic refraction

Seismic cross-hole

Seismic downhole, uphole

Indirect field measurement

Correlation to  $(N_1)_{60}$ ,  $q_{cl}$ , etc.

Laboratory measurement

Resonant column

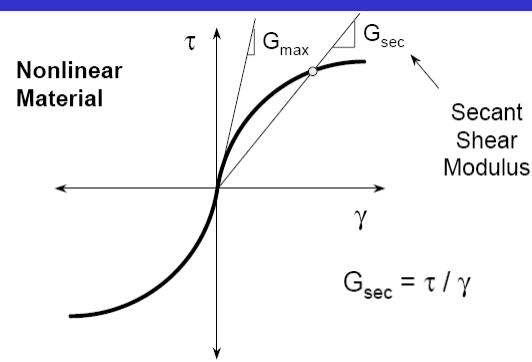
Bender element

Dr. Hasan Ghasemzadeh

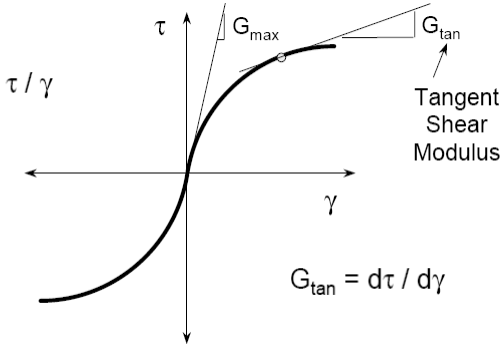
9

## رفتار دینامیکی خاک ها

### Shear Modulus $G$

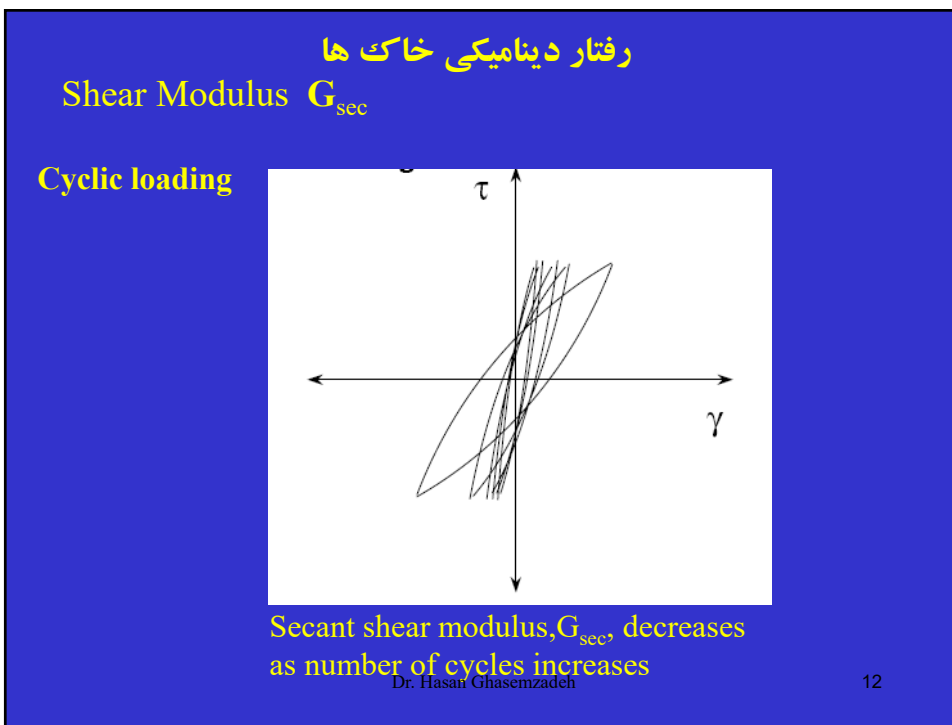
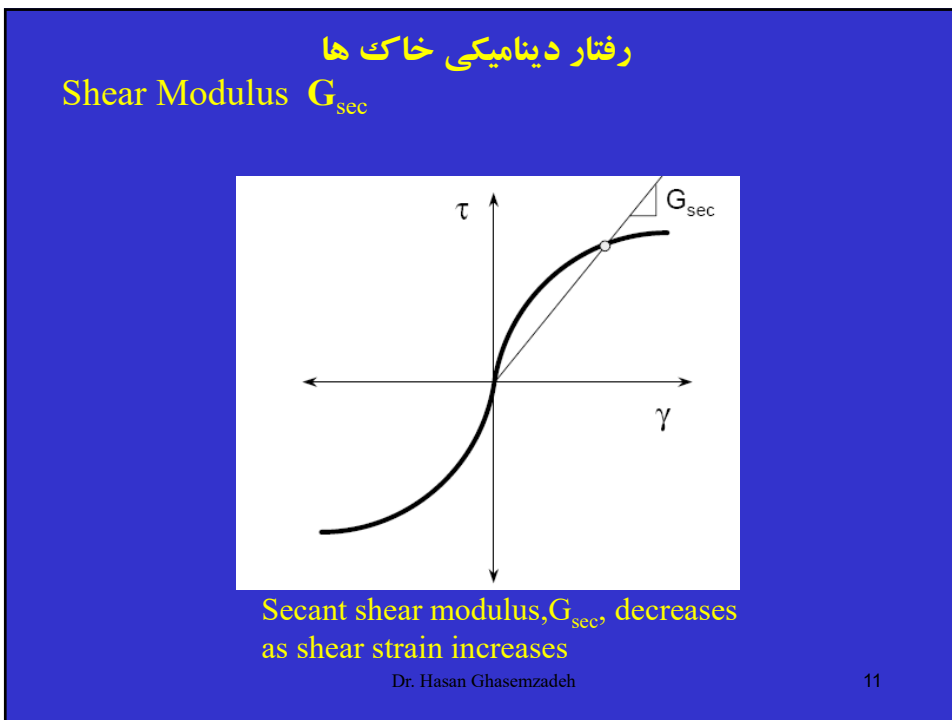


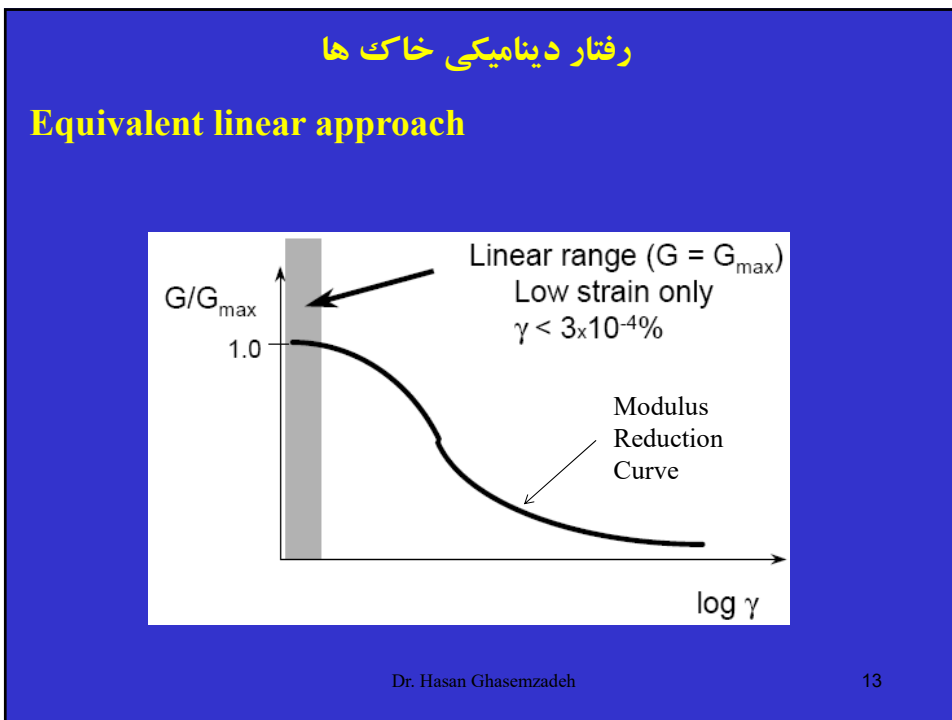
Equivalent linear analysis



Nonlinear analysis

Dr. Hasan Ghasemzadeh



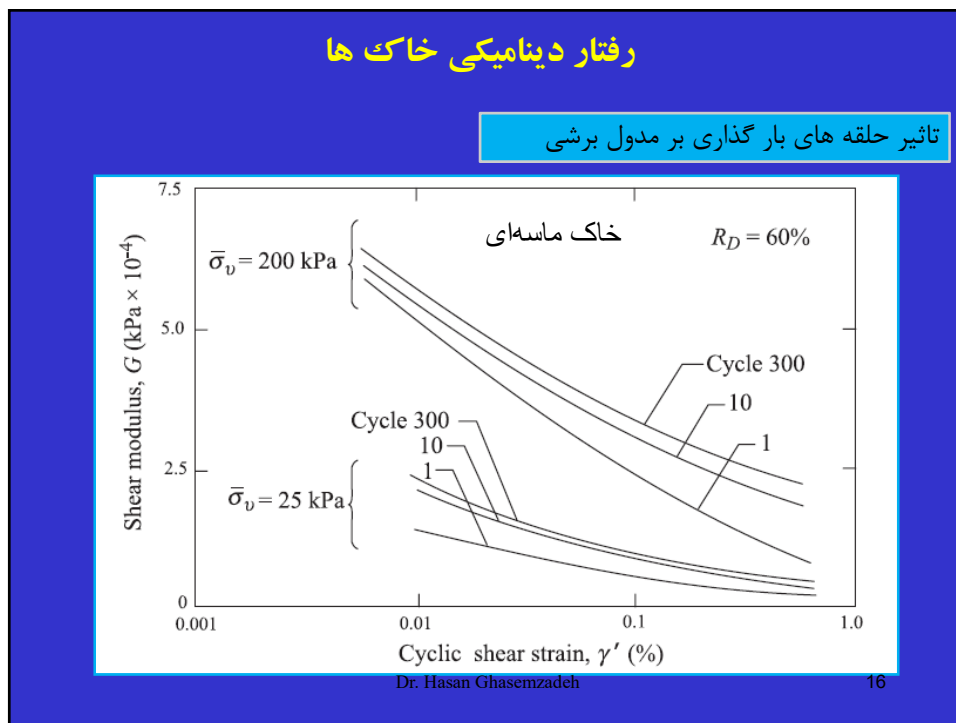
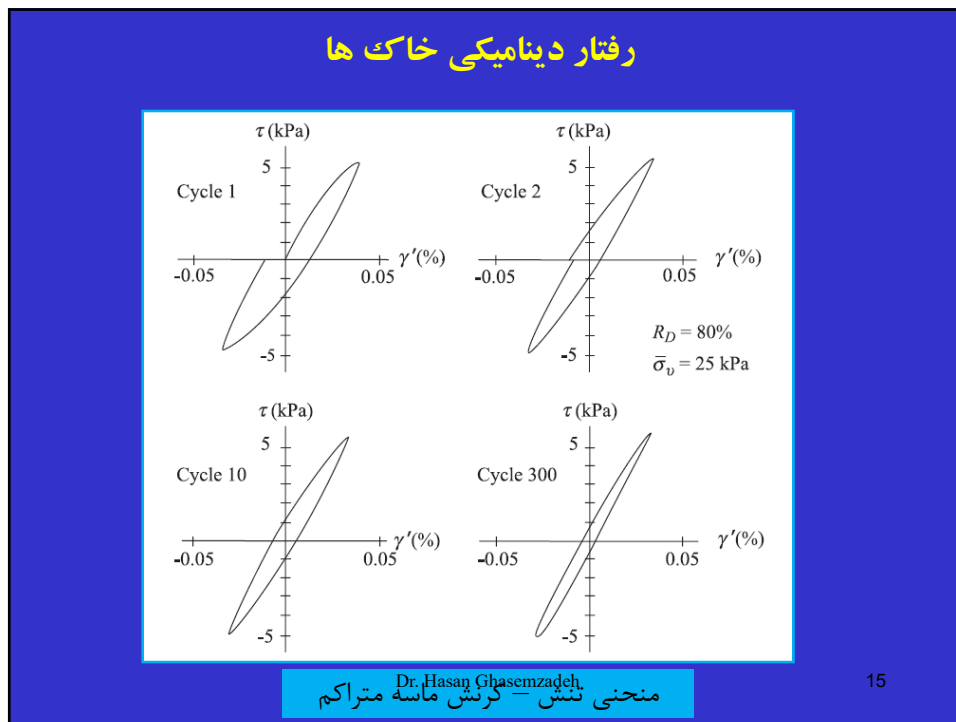


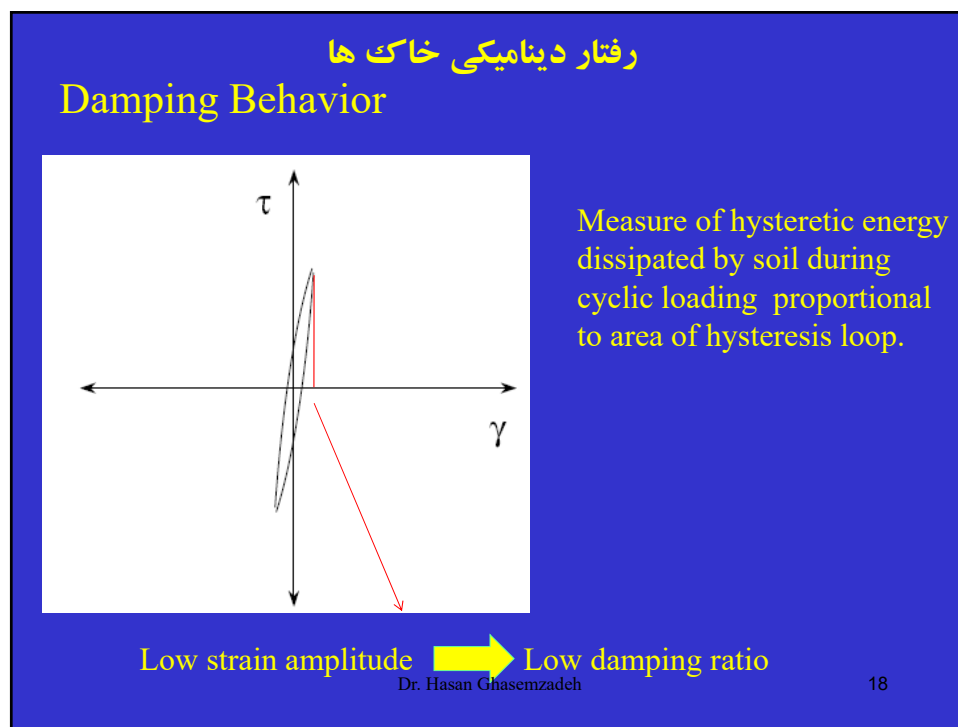
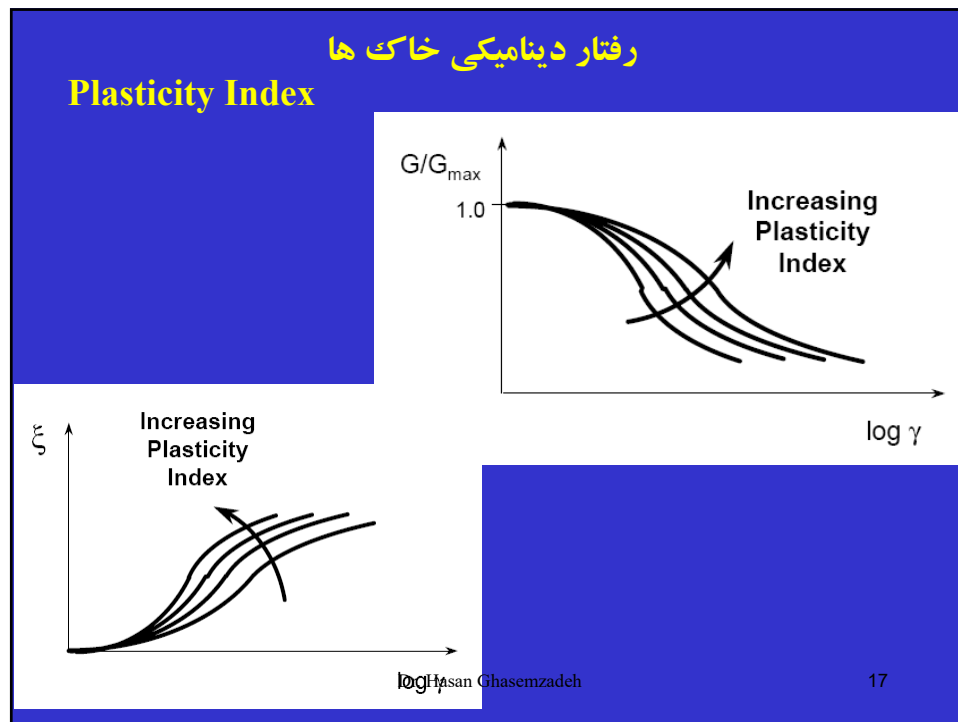
رفتار دینامیکی خاک ها

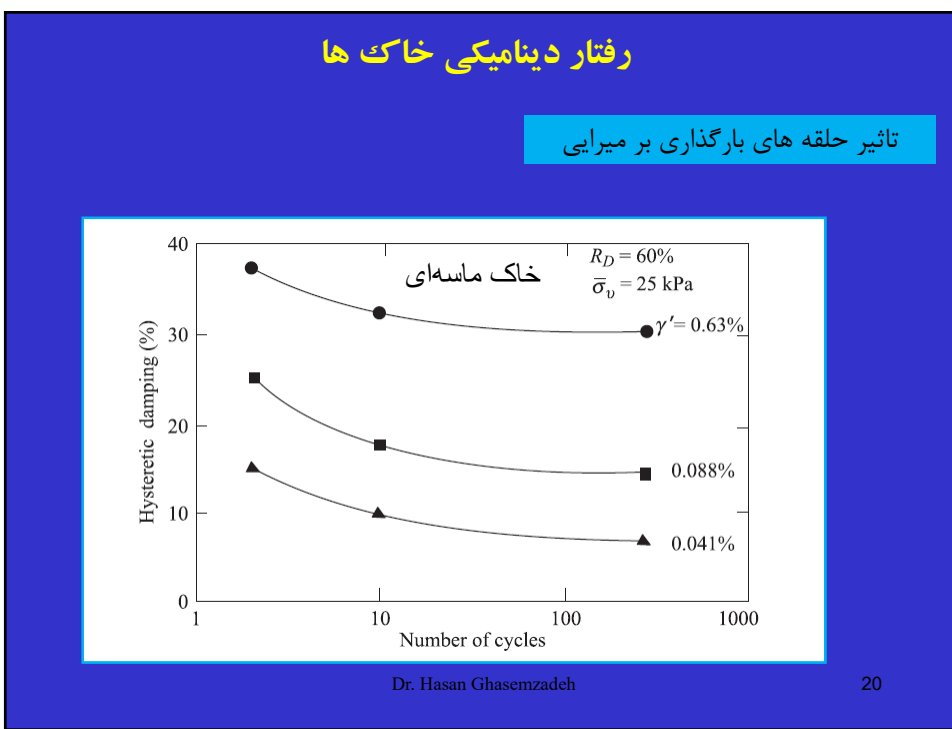
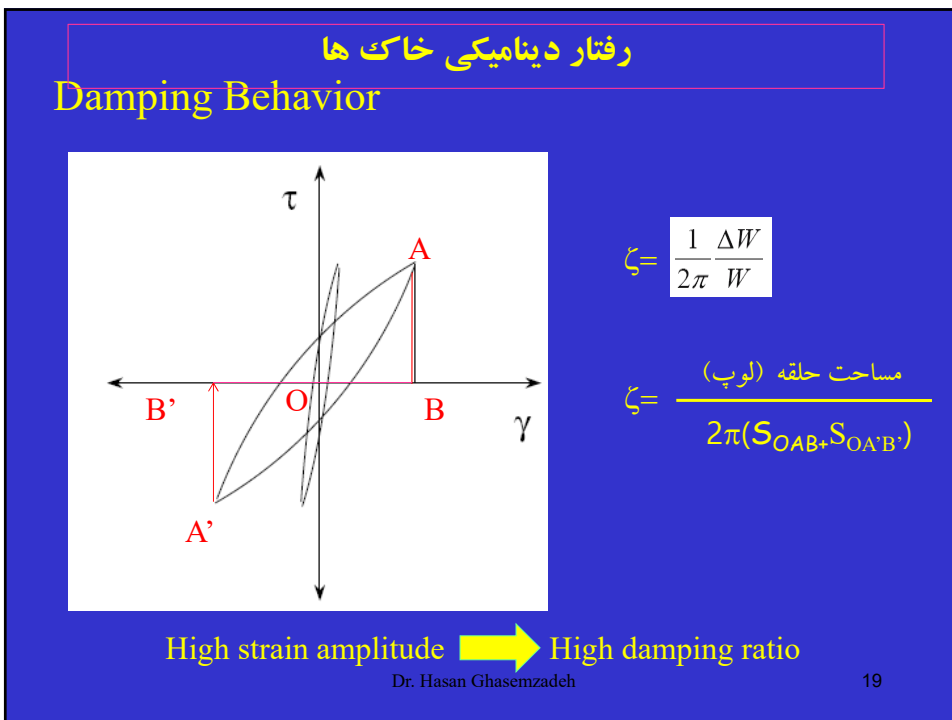
### Shear Modulus G<sub>max</sub> Behavior

Increasing factor	G <sub>max</sub>
Effective stress	Increases
Void ratio	Decreases
Geologic age	Increases
Cementation	Increases
Overconsolidation	Increases
Plasticity index	Negligible to small increase
Number of loading	Decreases for clay
Cycles	Increases for sand
Angle of friction	
Grain size characteristics	
Degree of saturation	
Level of strain	

Dr. Hasan Ghasemzadeh      14







## رفتار دینامیکی خاک ها

### Experimental values of $G_0$

برای ماسه بازسازی در آزمایشگاه

**Iwasaki & Tatsuoka**

$$G_0 = AB \frac{(2.17 - e)^2}{1 + e} (\sigma'_0)^m$$

$14300 < A < 16000$       برای ماسه تیز

$G_{\max} = 6908 \frac{(2.17 - e)^2}{1 + e} \sqrt{\bar{\sigma}_0}$	دانه های گرد گوشه
$G_{\max} = 3230 \frac{(2.97 - e)^2}{1 + e} \sqrt{\bar{\sigma}_0}$	دانه های گوشه تیز
$\bar{\sigma}_0 = \frac{\bar{\sigma}_v}{3} (3 - 2 \sin \phi)$	تنش قائم موثر $\bar{\sigma}_v$

Dr. Hasan Ghasemzadeh

21

## رفتار دینامیکی خاک ها

### Experimental values of $G_0$

برای دامنه های کرنش های کوچک

$$G = 218.82 K_2 \sqrt{\bar{\sigma}_0} \quad (\gamma' \leq 10^{-4} \%)$$

$$G_{\max} = 218.82 K_{2(\max)} \sqrt{\bar{\sigma}_0}$$

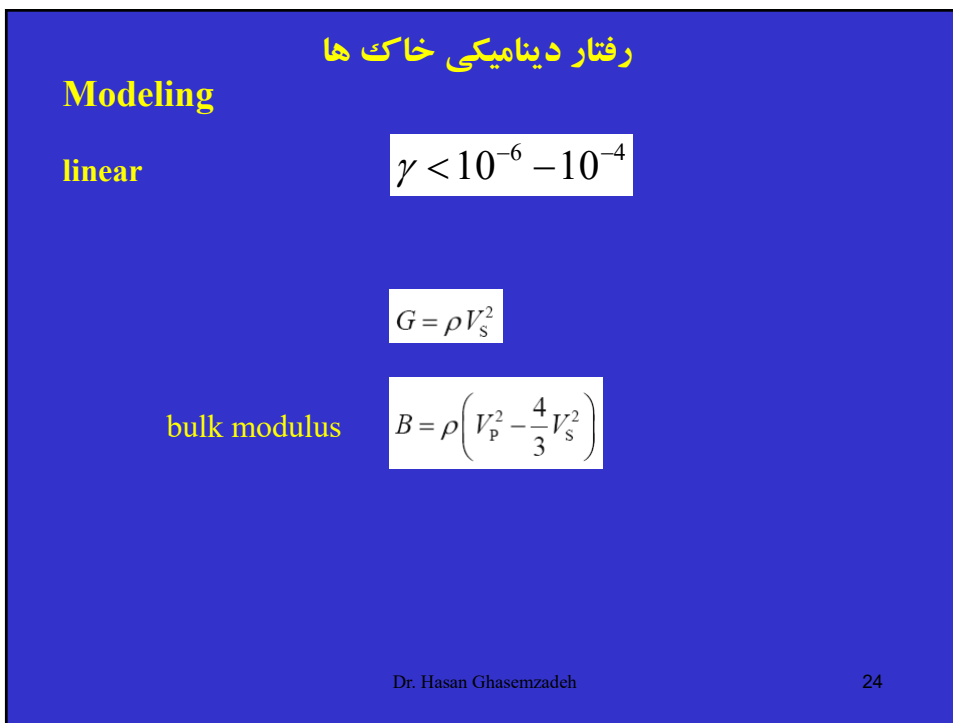
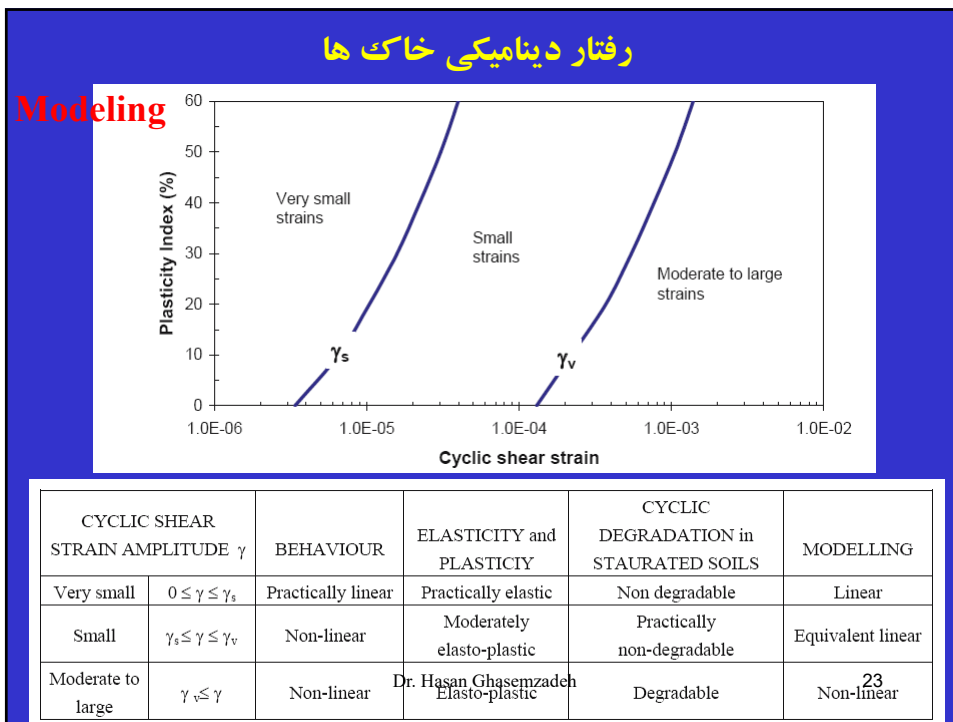
$$\frac{G}{G_{\max}} = \frac{K_2}{K_{2(\max)}} F'$$

Relative density, $R_d$ (%)	$K_{2(\max)}$
30	34
40	40
45	43
60	52
75	61
90	70

Shear strain,  $\gamma'$  (%)

Dr. Hasan Ghasemzadeh

22



**رفتار دینامیکی خاک ها**

### Modeling

$$\gamma_s < \gamma < \gamma_v$$

Viscoelastic model

$$C = \frac{G\eta}{\omega}$$

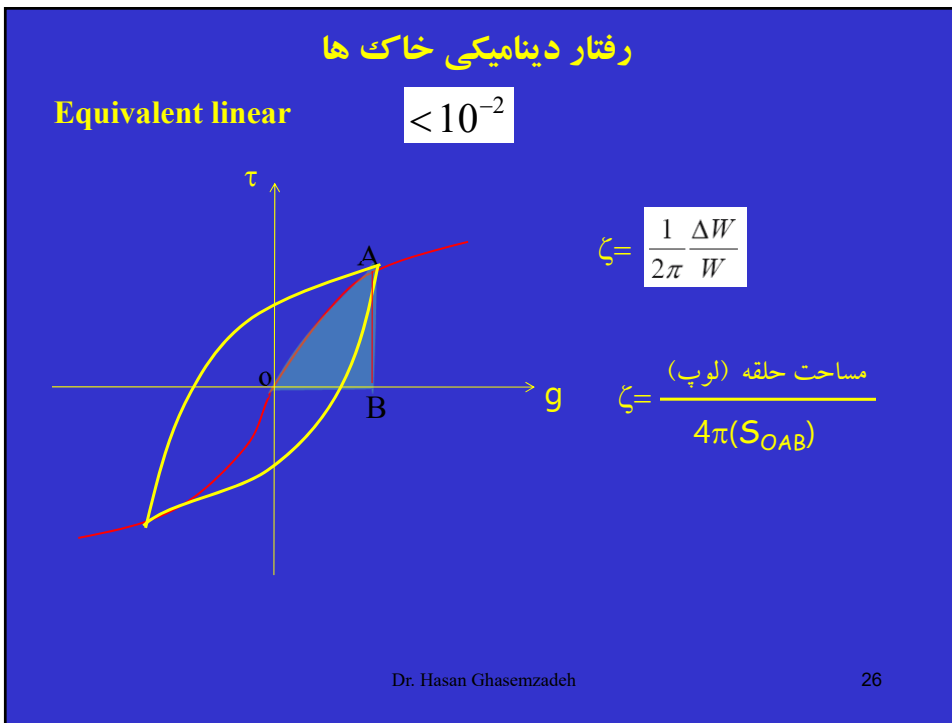
the viscoelastic model lends itself to an energy dissipation mechanism that is frequency dependent, in contradiction with experimental observation

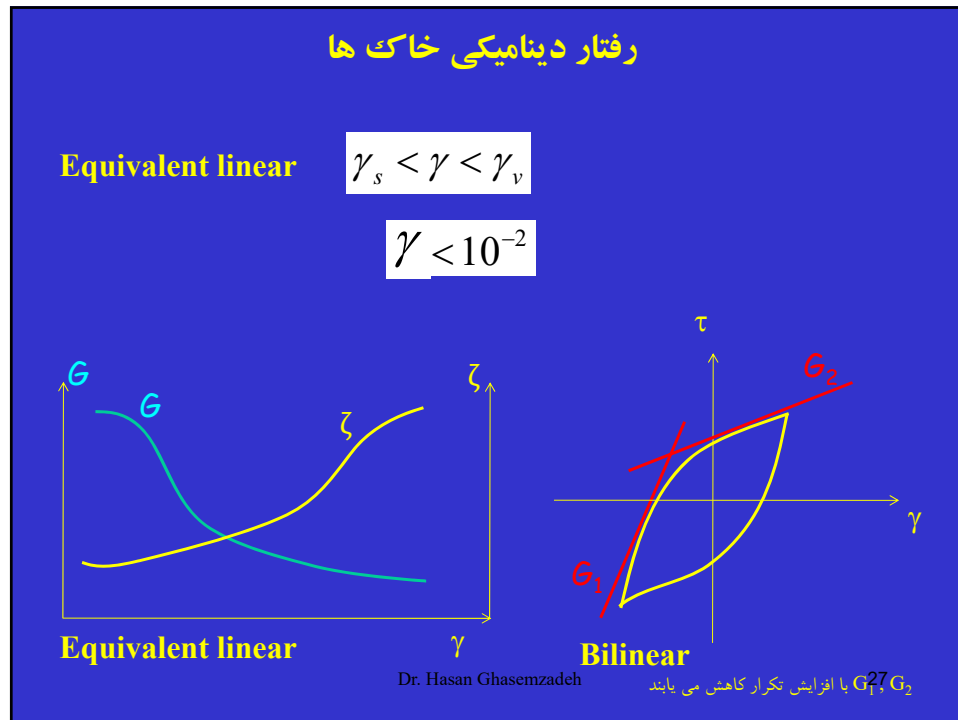
$$\tau = G\gamma + C\dot{\gamma}$$

The normalizing quantity is the elastic energy  $W$  stored during one cycle      Dr. Hasan Ghasemzadeh

$$W = \frac{1}{2} G \gamma_m^2$$

25





**رفتار دینامیکی خاک ها**

Equivalent linear viscoelastic models

$$\tau_m = G^* \gamma_m$$

	COMPLEX MODULUS $G^* = \tau/\gamma$	DISSIPATED ENERGY IN ONE CYCLE $\Delta W$	MODULUS $ G^* $
MATERIAL		$\pi G \eta \gamma_m^2$	$G$
MODEL 1	$G = [1 + i\eta]$	$\pi G \eta \gamma_m^2$	$G \sqrt{1 + \eta^2}$
MODEL 2	$G e^{i\theta}$ $\eta = 2 \sin(\theta/2)$	$\pi G \eta \gamma_m^2 \sqrt{1 - \frac{\eta^2}{4}}$	$G$
MODEL 3	$G [\sqrt{1 - \eta^2} + i\eta]$	$\pi G \eta \gamma_m^2$	$G$

Dr. Hasan Ghasemzadeh      28

